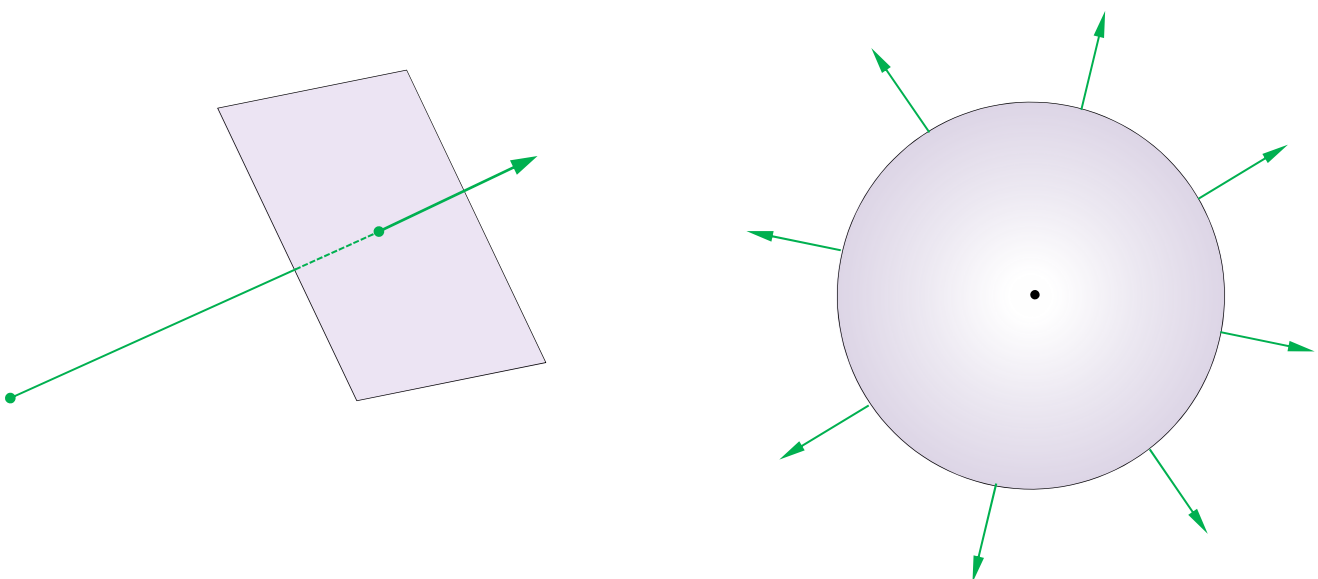


https://www.youtube.com/watch?v=ImknFucHS_c

単一フォトンによるヤングの干渉実験（浜松ホトニクス／1982 年） 10:40



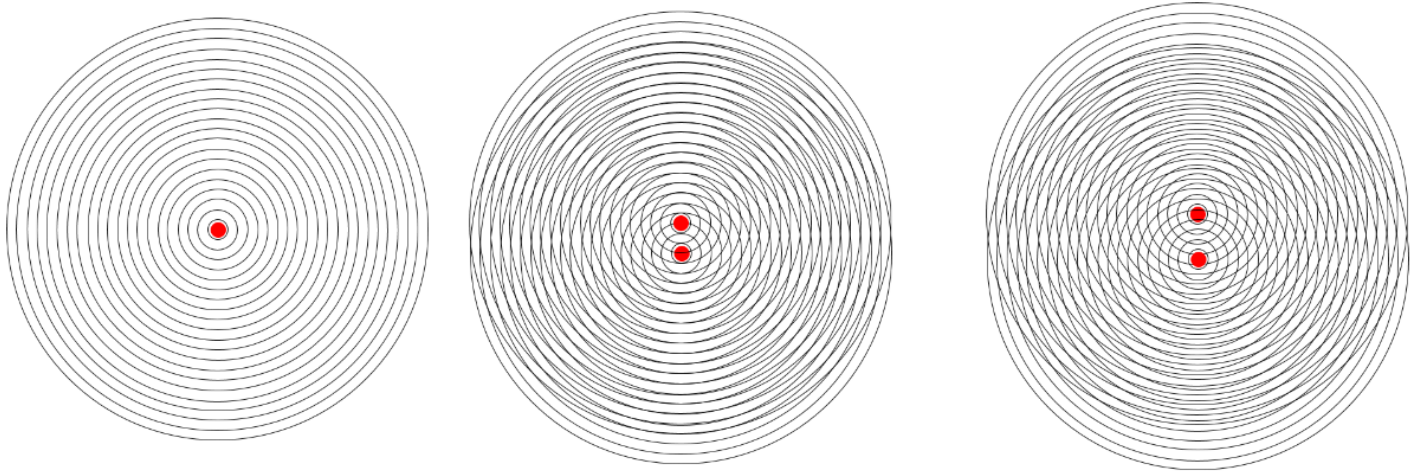
§ 波の重ね合せ



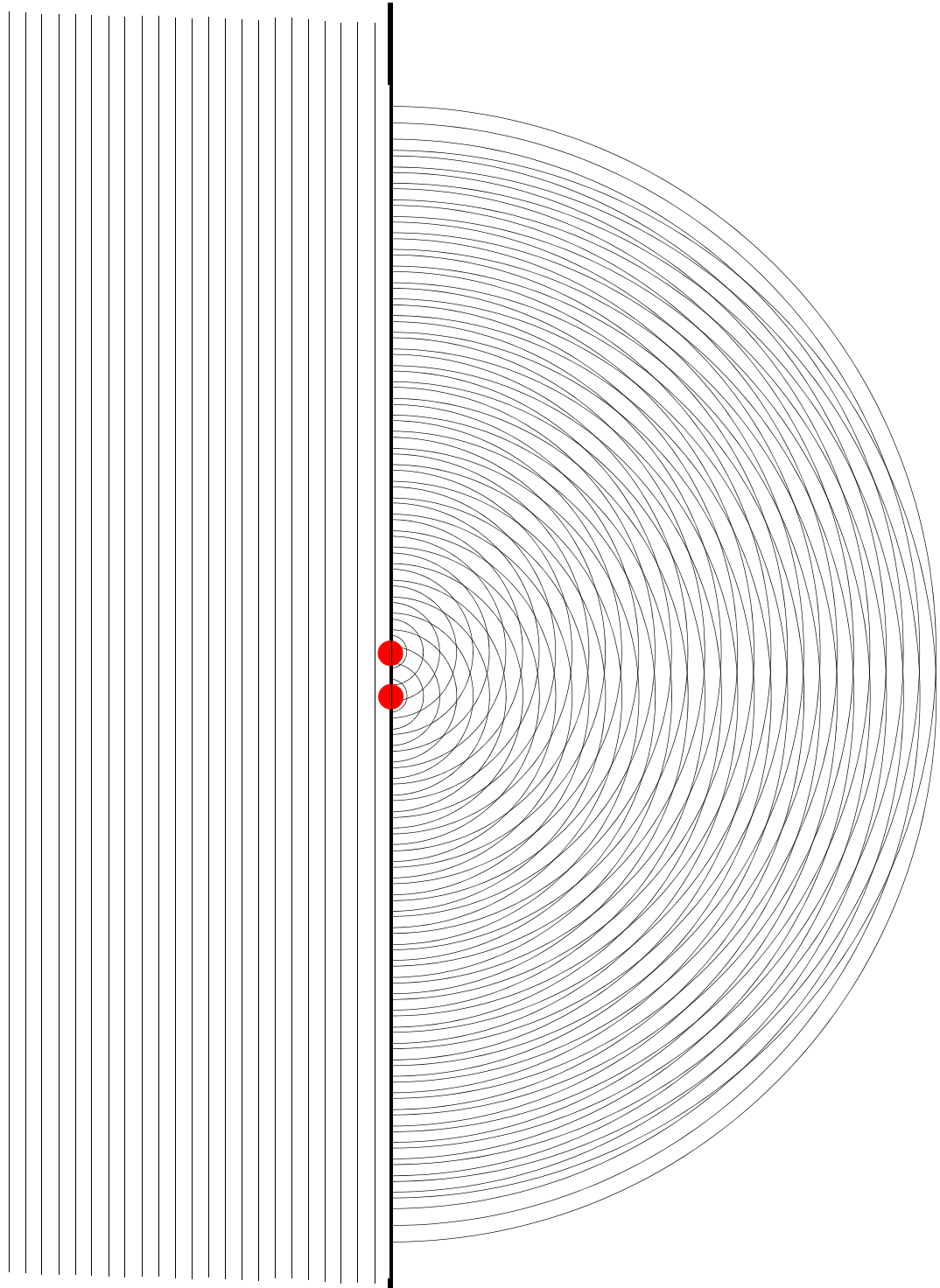
いくつかの波源から球面波が発生するとそれらは重なり合う

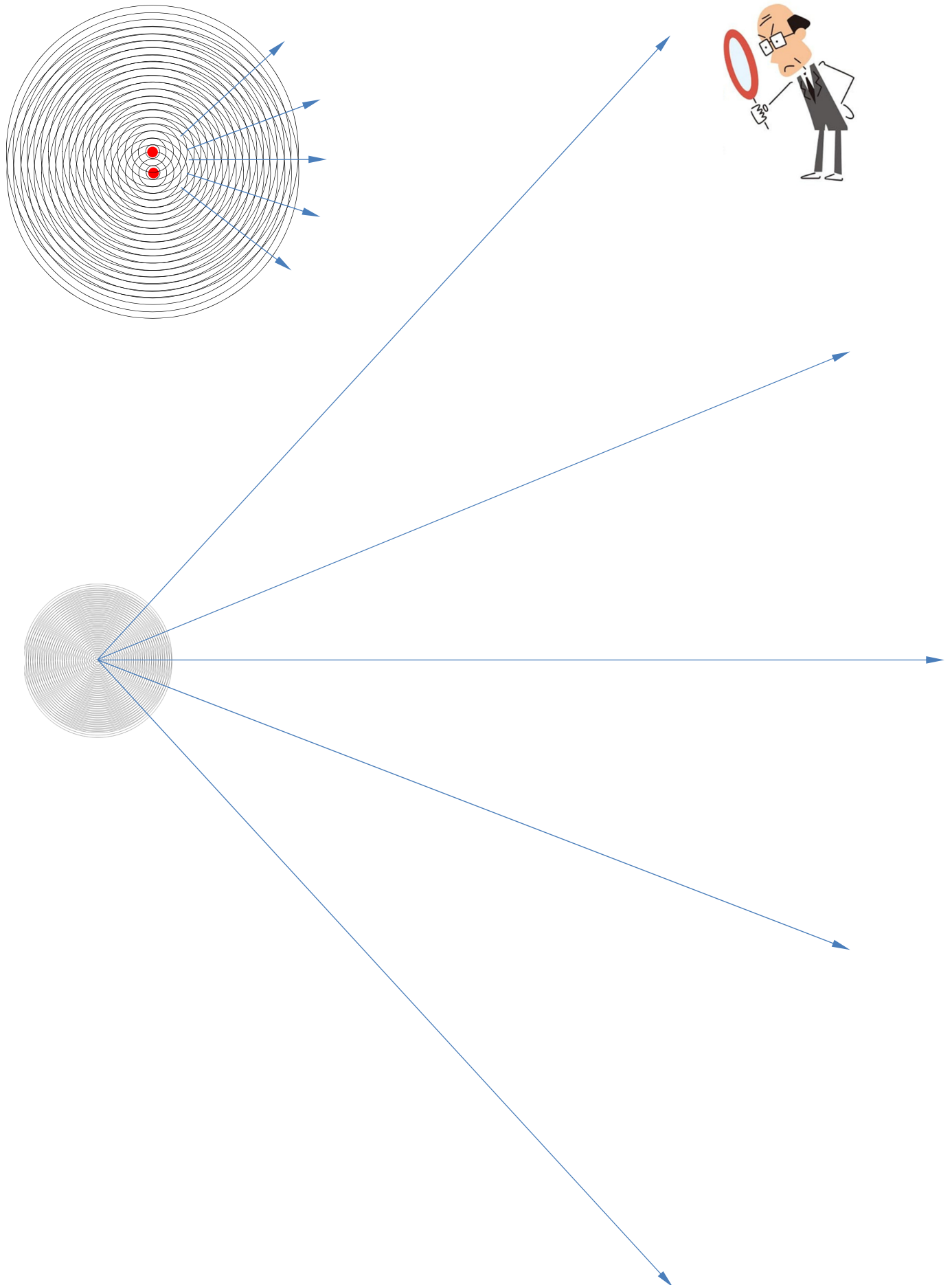


波源が離れると

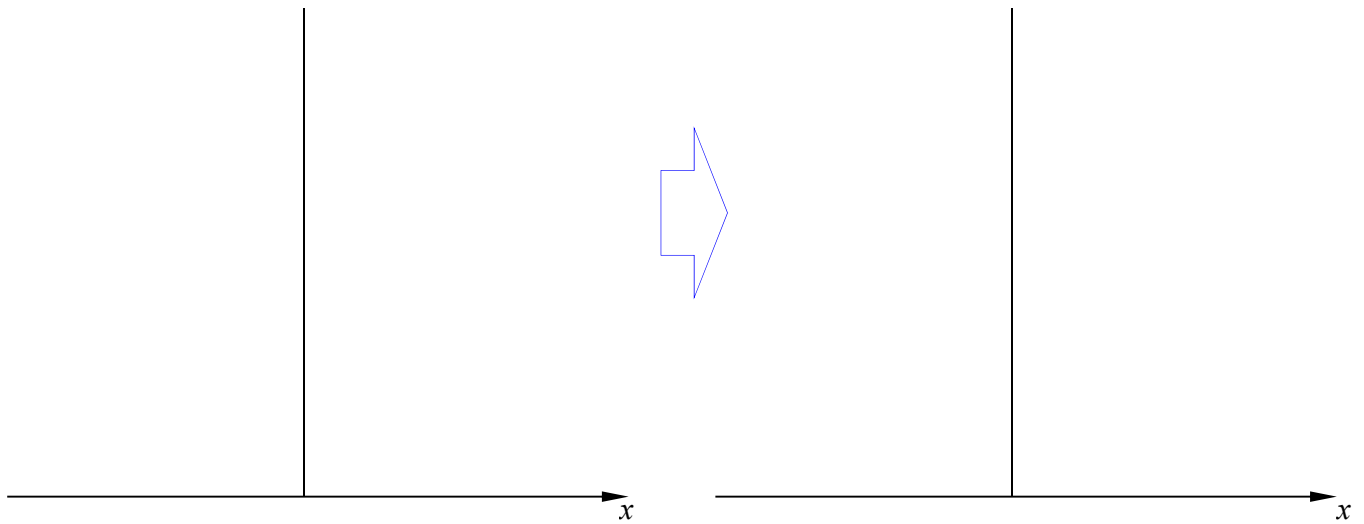
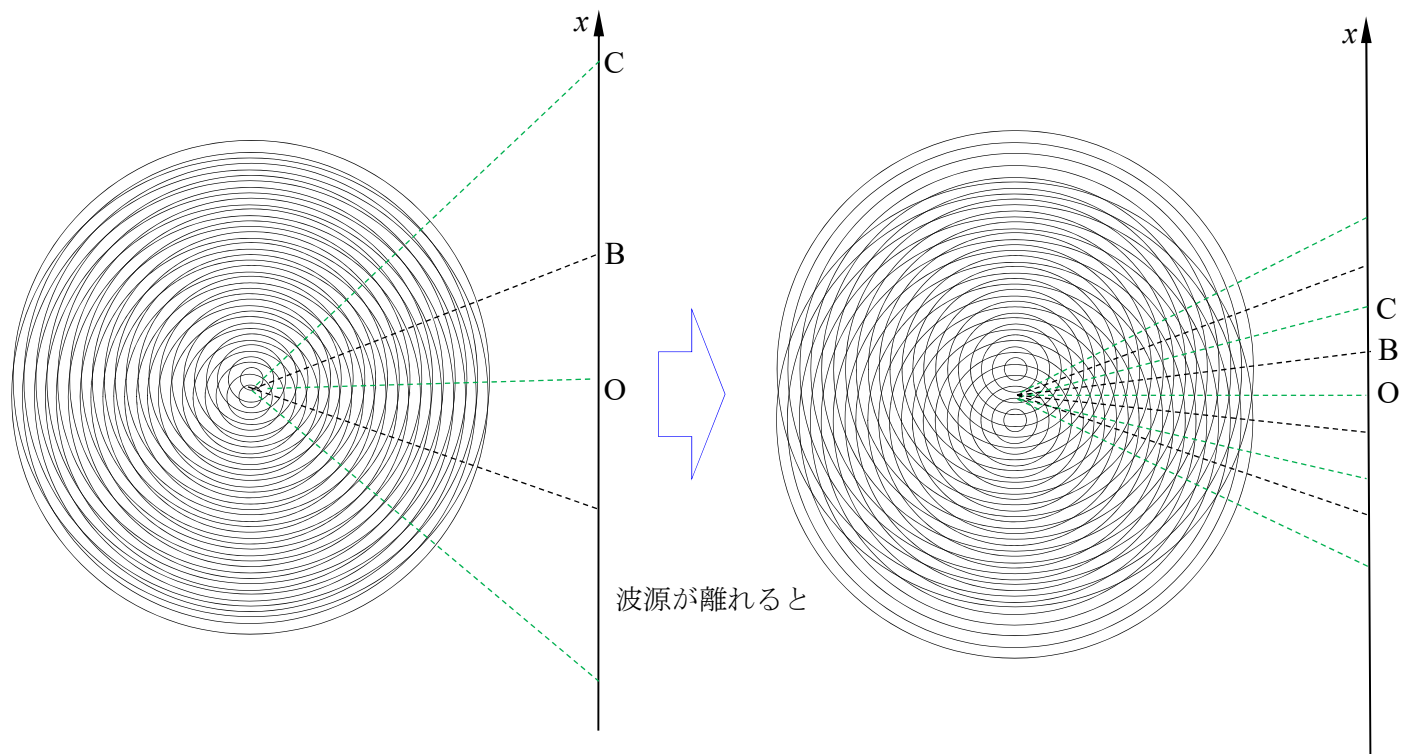


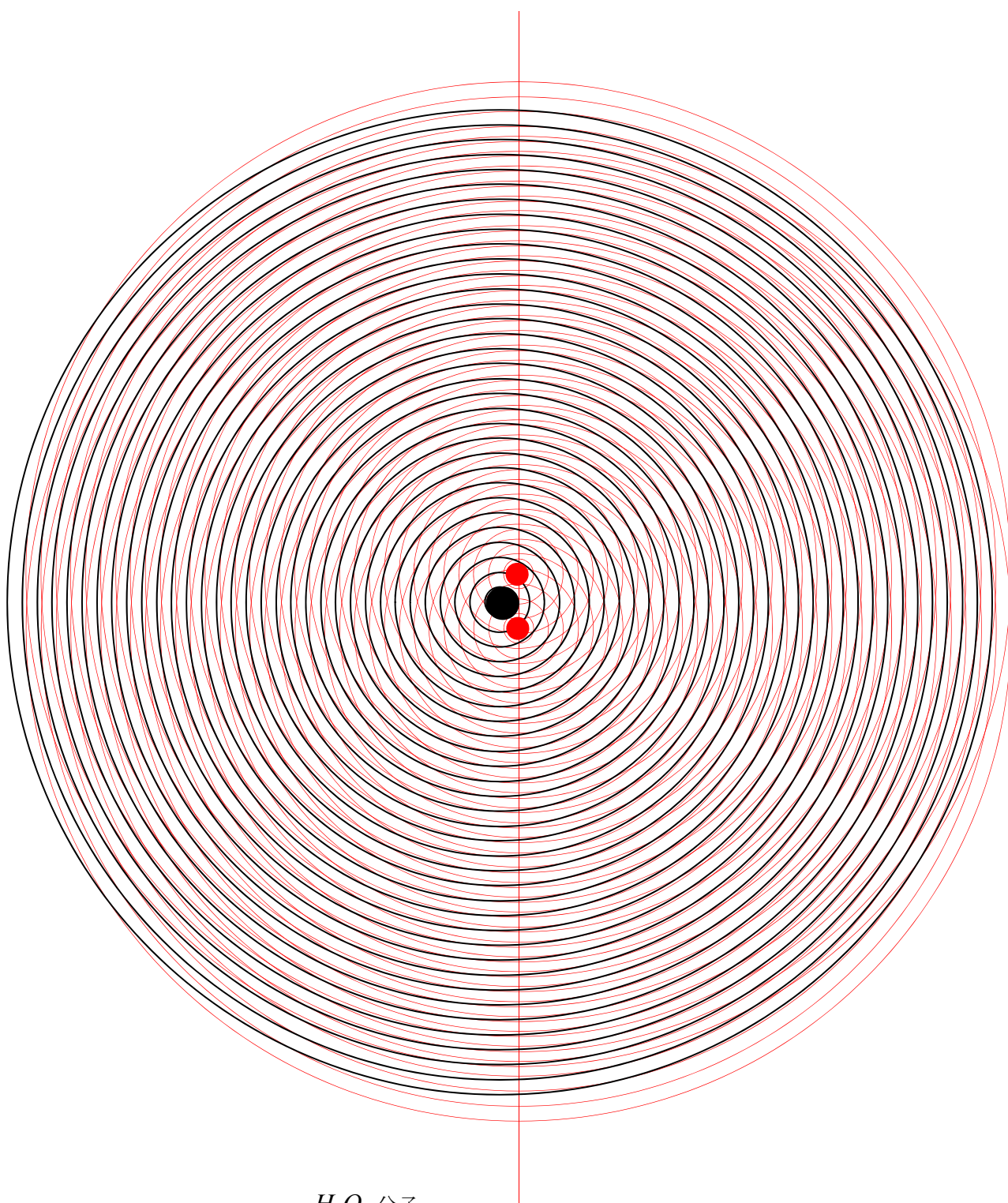
H_2 分子



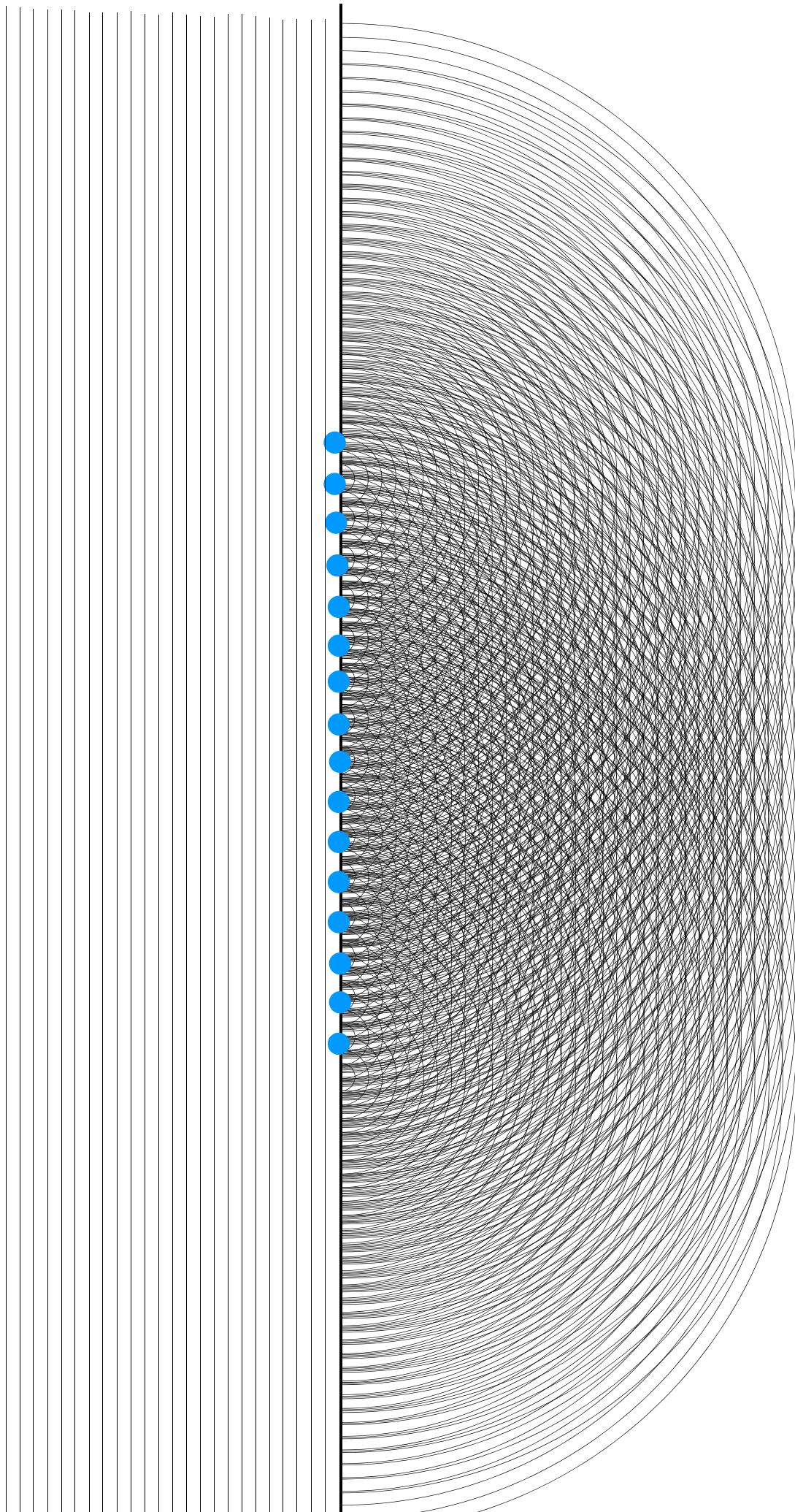


いくつかの波源から球面波が発生するとそれらは重なり合う





H_2O 分子



位相から見た時空構造と観測

波 $\varphi(\mathbf{r}, t) = Ae^{2\pi i(\mathbf{k} \cdot \mathbf{r} - \nu t)} = Ae^{2\pi i(k_x x + k_y y + k_z z - \nu t)}$

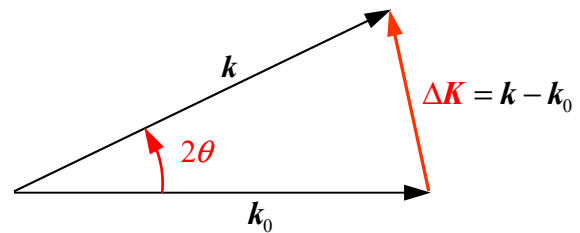
実空間 波の 粒子的
逆空間 位相空間

座標空間		波数空間		運動量
x	\leftrightarrow	k_x	$\times h =$	p_x
y	\leftrightarrow	k_y	$\times h =$	p_y
z	\leftrightarrow	k_z	$\times h =$	p_z
t	\leftrightarrow	ν	$\times h =$	E
時間		振動数		エネルギー

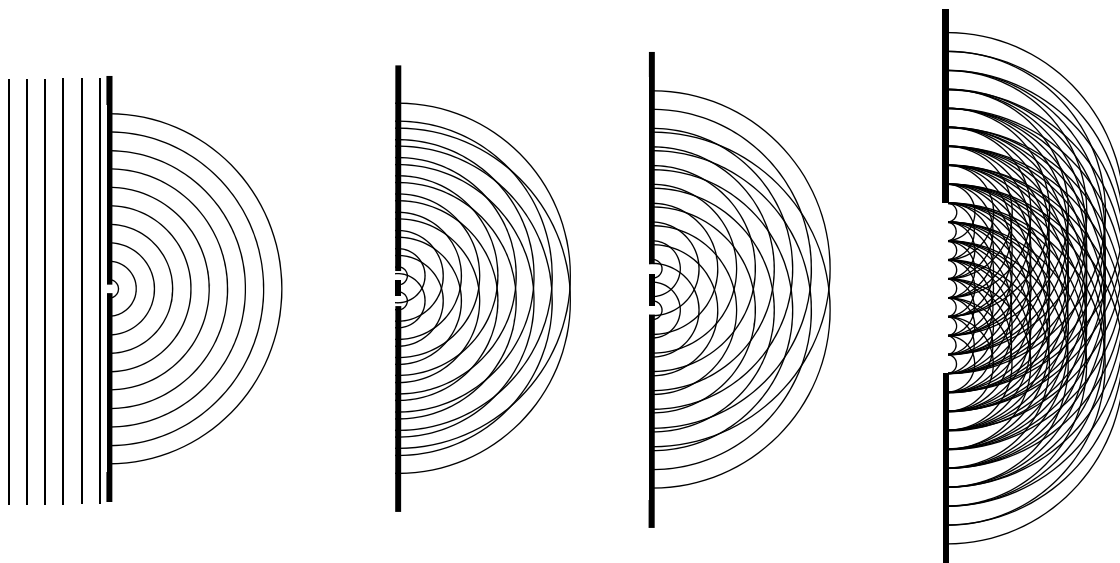
→ Fourier 変換 →

← 逆 Fourier 変換 ←

構造解析とは、どこに(\mathbf{r})原子があるか決めること
観測は \mathbf{k} 空間で行う



回折実験の本質



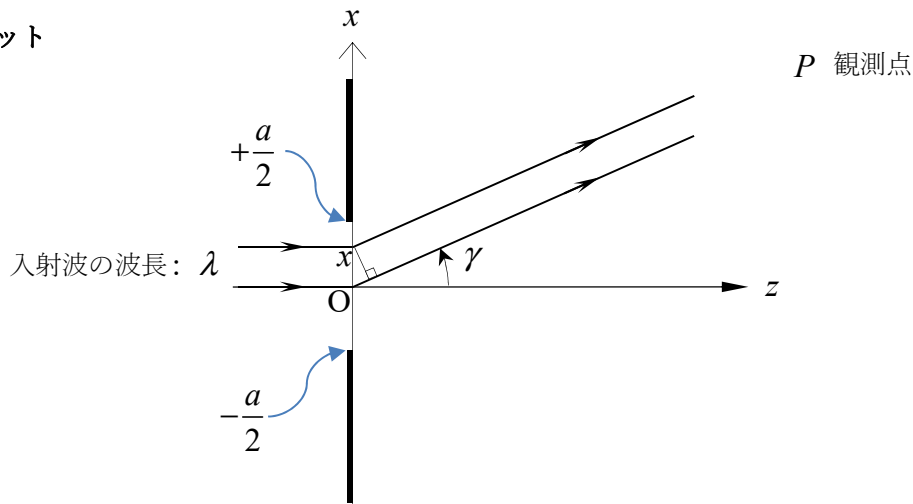
(a) 一個の孔からの球面波

(b) 二個の孔

(c) 離れた二個の孔

(d) 大きな孔

§ スリット



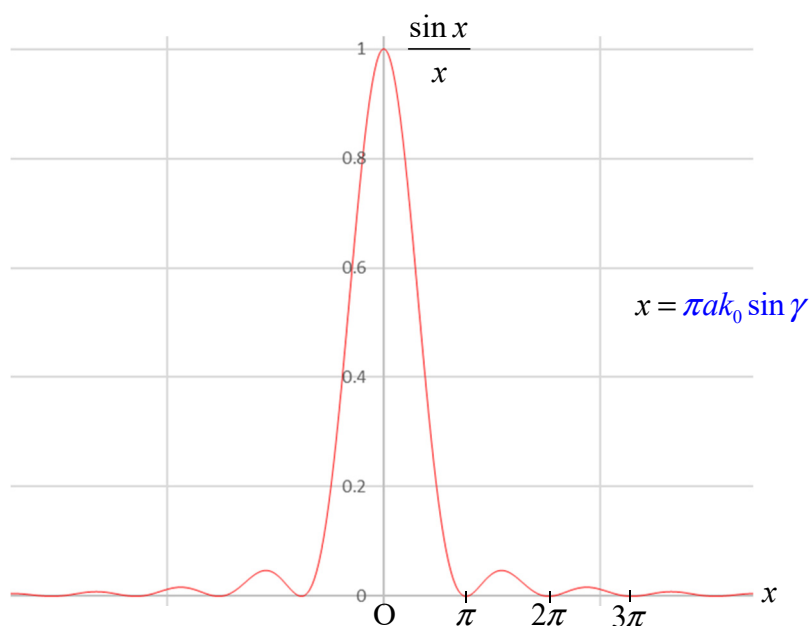
開口幅 = a のスリットの関数は,

$$q(x) = \begin{cases} 1 & \text{for } -\frac{a}{2} \leq x \leq \frac{a}{2} \\ 0 & \text{for } x < -\frac{a}{2}, \frac{a}{2} < x \end{cases}$$

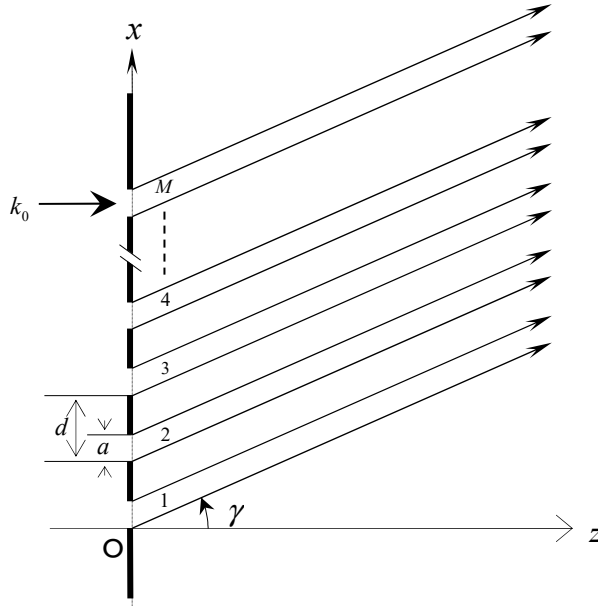
十分遠方の点 P における波の振幅 $\Psi(P)$ は,

$$\begin{aligned} \Psi(P) &= \int_{-\infty}^{\infty} q(x) e^{2\pi i \frac{\sin \gamma}{\lambda} x} dx = \int_{-\infty}^{-\frac{a}{2}} 0 e^{2\pi i \frac{\sin \gamma}{\lambda} x} dx + \int_{-\frac{a}{2}}^{\frac{a}{2}} 1 e^{2\pi i \frac{\sin \gamma}{\lambda} x} dx + \int_{\frac{a}{2}}^{\infty} 0 e^{2\pi i \frac{\sin \gamma}{\lambda} x} dx \quad \frac{1}{\lambda} = k_0 \text{ と置いて} \\ &= \int_{-\frac{a}{2}}^{\frac{a}{2}} e^{2\pi i k_0 \sin \gamma x} dx = \left[\frac{e^{2\pi i k_0 \sin \gamma x}}{2\pi i k_0 \sin \gamma} \right]_{x=-\frac{a}{2}}^{\frac{a}{2}} = \frac{1}{\pi k_0 \sin \gamma} \frac{e^{\pi a i k_0 \sin \gamma} - e^{-\pi a i k_0 \sin \gamma}}{2i} = a \frac{\sin(\pi a k_0 \sin \gamma)}{\pi a k_0 \sin \gamma} \end{aligned}$$

回折像 (観測される強度): $|\Psi(P)|^2 = a^2 \left(\frac{\sin(\pi a k_0 \sin \gamma)}{\pi a k_0 \sin \gamma} \right)^2$



§ 回折格子

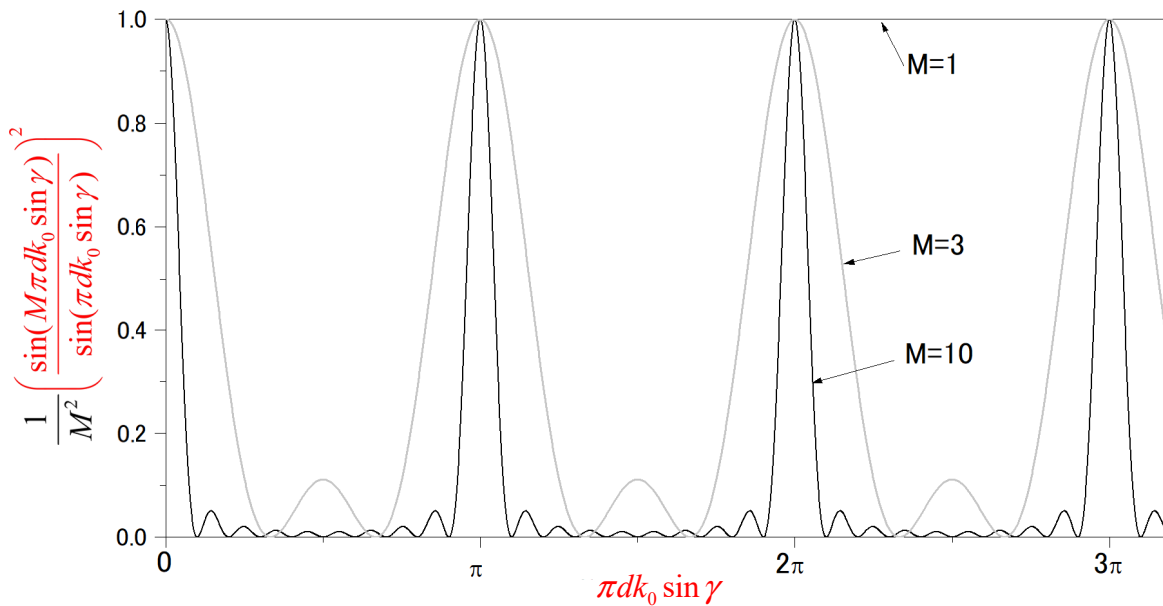
 P 観測点

回折格子の関数: $q(x) = \begin{cases} 1 & \text{for } (j-1)d \leq x \leq (j-1)d + a \\ 0 & \text{for } (j-1)d + a < x < jd \end{cases}$ ここで $j = 1, 2, \dots, M$

点 P における波の振幅: $\Psi(P) = \sum_{j=1}^M \left(\int_{(j-1)d}^{(j-1)d+a} 1 \cdot e^{2\pi i x k_0 \sin \gamma} dx \right)$

$$= e^{\pi i a k_0 \sin \gamma} e^{\pi i (M-1) d k_0 \sin \gamma} a \cdot \frac{\sin(\pi a k_0 \sin \gamma)}{\pi a k_0 \sin \gamma} \frac{\sin(M \pi d k_0 \sin \gamma)}{\sin(\pi d k_0 \sin \gamma)}$$

回折像 (観測される強度): $|\Psi(P)|^2 = a^2 \left(\frac{\sin(\pi a k_0 \sin \gamma)}{\pi a k_0 \sin \gamma} \right)^2 \left(\frac{\sin(M \pi d k_0 \sin \gamma)}{\sin(\pi d k_0 \sin \gamma)} \right)^2$



光波から物質波までの説明 28:49

AT&T Archives: Matter Waves, Holden and Germer on Wave Nature and the Davisson-Germer Experiment

<https://www.youtube.com/watch?v=szGJnpNowqw&list=PLrCr7e1xtOBISb-1I5hZflV1KQIRI23nC>